

Я.С.Белехов, М.Н.Петров

### ВЫЯВЛЕНИЕ ДОПОЛНИТЕЛЬНЫХ ОСОБЕННОСТЕЙ РЕТГЕНОТОПОГРАФИЧЕСКОГО КОНТРАСТА ОТ ДЕФЕКТОВ С ПОМОЩЬЮ ВЕЙВЛЕТ-АНАЛИЗА

Application of computer processing for the analysis and decoding of diffraction images of structure defects in 6H-SiC single crystals, revealed by X-ray anomalous transmission method is considered. The computer processing was applied to reducing of graininess of photoemulsion. It allows to improve a quality of the experimental contrast from edge dislocations. The wavelet transform for numerical image processing was applied. The efficiency and applicability for this mathematical technique is discussed.

#### Введение

Перед современной прикладной наукой и полупроводниковым производством давно уже стоит вопрос о повышении чувствительности и информативности рентгенотопографических методов исследования дефектов монокристаллов. В частности метода, основанного на явлении аномального прохождения рентгеновских лучей (метод АПРЛ), который является одним из самых перспективных для исследования бездислокационных и малодислокационных полупроводников. Наиболее часто встает проблема устранения со снимков зернистости используемых фотоматериалов, на фоне которой затруднительна надежная расшифровка топографических изображений, в результате чего возможны ошибки при идентификации дефекта и его локализации в объеме монокристалла. В последнее время для этих целей предложен ряд методик цифровой обработки изображений, большинство из которых базируется на математическом аппарате Фурье-преобразования.

В данной статье рассматривается применение математического аппарата вейвлетов для цифровой обработки изображений дислокаций, в частности предложен алгоритм вейвлет-обработки и указаны возможные пути его оптимизации.

#### Алгоритм быстрого вейвлет-преобразования

Абстрактно вейвлет-базис записывается как [1]

$$\psi(x) = a^{-1/2} \psi_0\left(\frac{x-b}{a}\right), \quad (1)$$

где  $a$  — параметр, задающий степень сжатия или растяжения (масштаб) вейвлет-функции;  $b$  — параметр, задающий смещение функции по координатной (временной) оси;  $\psi_0$  — сама базисная функция, определяемая типом вейвлета.

В дискретном случае анализа параметры  $a$  и  $b$  заменяются на дискретные значения  $a = 2^j$  и  $b = k2^j$ , где  $j$  и  $k$  — целые числа. В результате вейвлет-функция принимает вид

$$\psi_{j,k} = a_0^{-j/2} \psi(a_0^{-j}x - k),$$

а формула для вычисления детализирующих коэффициентов вейвлет-декомпозиции уровня  $j$  записывается как

$$C(j,k) = \int_{-\infty}^{\infty} a_0^{-j/2} \psi(a_0^{-j}x - k) s(x) dx. \quad (2)$$

Приведенные формулы используются для анализа одномерных сигналов. При переходе к двумерному сигналу, каковым, например, является изображение, необходимо рас-

смаатривать две координаты —  $x$  и  $y$ . В этом случае вейвлет-базис является функцией двух переменных и в непрерывном случае

$$\psi(x, y) = \frac{1}{\sqrt{a_1 \cdot a_2}} \psi_0\left(\frac{x - b_1}{a_1}, \frac{x - b_2}{a_2}\right),$$

где  $a_1$ ,  $b_1$  и  $a_2$ ,  $b_2$  — параметры из формулы (1), относящиеся к измерениям сигнала по  $x$  и по  $y$  соответственно.

Для нахождения двумерной вейвлет-функции можно также воспользоваться тензорным произведением одномерных вейвлет-базисов для  $x$  и  $y$ . Тогда аппроксимирующая двумерная вейвлет-функция запишется как

$$\varphi(x, y) = \varphi(x)\varphi(y),$$

а в качестве вейвлет-базиса будут одновременно использоваться три вейвлета:

$$\psi_1(x, y) = \varphi(x)\psi(y), \quad \psi_2(x, y) = \psi(x)\varphi(y), \quad \psi_3(x, y) = \psi(x)\psi(y).$$

Однако на практике указанные выше выражения не получили распространения. Вместо них для каждого ортогонального вейвлет-базиса были созданы частотные фильтры с конечной импульсной характеристикой (КИХ-фильтры). Эти фильтры синтезируются на основе частотного образа вейвлета, т.е. когда вейвлет-функция представляется в частотной области по средствам прямого Фурье-преобразования, и такой образ вейвлета называется Фурье-образом. Частотная область вейвлета делится на две составляющие — низкочастотную и высокочастотную. Точка раздела этих частот равна половине частоты дискретизации сигнала. Каждой из этих областей соответствует свой фильтр: *Lo\_D* (*low-pass decomposition*) — низкочастотный фильтр декомпозиции и *Hi\_D* (*high-pass decomposition*) — высокочастотный фильтр декомпозиции. После декомпозиции на выходе каждого фильтра остается только половина частотных компонент сигнала, другая половина удаляется. Такая операция называется *двоичной децимацией* или прореживанием частоты сигнала вдвое. Коэффициенты передаточной характеристики этих фильтров соответствуют собственно самим коэффициентам вейвлет-декомпозиции. *Lo\_D* образует на выходе коэффициенты аппроксимации сигнала, а *Hi\_D* — соответственно детализирующие коэффициенты. Преимуществом частотного подхода является то, что операция свертки дискретных отсчетов сигнала с коэффициентами импульсной характеристики вейвлет-фильтров занимает значительно меньше времени, чем декомпозиция сигнала по формуле (2). Поэтому такой подход лежит в основе алгоритмов быстрого вейвлет-преобразования (БВП). Основным из этих алгоритмов является пирамидальный алгоритм Маллата. Данный алгоритм позволяет использовать одномерный вейвлет-базис для двумерной декомпозиции. Подобную операцию называют декомпозицией с разделимым базисом, когда отдельно фильтруются строки и столбцы изображения как конечные одномерные сигналы. Схема этого алгоритма для двумерного вейвлет-анализа с использованием традиционных обозначений (см. напр., пакет MATLAB [1]) представлена на рис. 1.

Двоичная децимация коэффициентов разложения в данной схеме по сути дела является прореживанием спектра входного сигнала (строчек и столбцов изображения) вдвое по частоте. Матрица горизонтальных детализирующих коэффициентов  $CD^H$  содержит горизонтальные детали изображения, т.е. наиболее явные в направлении горизонтальных строк. Соответственно вертикальные коэффициенты  $CD^V$  передают вертикальные детали изображения, а  $CD^D$  — диагональные.

Обозначим через  $A_j$  реконструкцию изображения из матрицы коэффициентов аппроксимации уровня  $j$ , что соответствует аппроксимации изображения на уровне  $j$ . Аналогично через  $D_j^{H,V,D}$  обозначим реконструкцию изображения из его детализирующих коэффициентов уровня  $j$ , т.е. получаем детали изображения на уровне  $j$ . В итоге аппроксимацию сигнала на уровне  $j$  можно записать так:

$$A_j = A_{j+1} + D_{j+1}^H + D_{j+1}^V + D_{j+1}^D. \quad (3)$$



$CA_j$  — входная матрица аппроксимирующих коэффициентов декомпозиции уровня  $j$ , где  $r$  — количество строк матрицы, а  $c$  — количество столбцов. При  $j=0$  матрица  $CA_0$  — представляет собой исходное изображение

Рис.1. Алгоритм быстрого 2-х мерного вейвлет-преобразования (алгоритм Маллата)

А реконструкция самого изображения  $S$  в соответствии с алгоритмом Маллата выглядит как

$$S = A_0 = A_1 + D_1^{H,V,D} = A_2 + D_2^{H,V,D} + D_1^{H,V,D} = \dots \quad (4)$$

По сути дела каждый последующий уровень разложения получается из предыдущих коэффициентов аппроксимации, а само изображение рассматривается как матрица коэффициентов аппроксимации нулевого уровня. С переходом на уровень вниз происходит уменьшение разрешения изображения в  $4^j$  раз по сравнению с оригиналом. В результате происходит последовательное *огрубление* изображения, и каждый последующий уровень декомпозиции строится на базе предыдущей грубой версии.

### Вейвлет-обработка изображений дислокаций

В ходе работы рентгенопографические снимки подвергались декомпозиции по данному алгоритму. Далее определялось, какие из детализирующих коэффициентов содержат зерно фотоэмульсии, и затем эти коэффициенты удалялись из общей структуры вейвлет-разложения. На рис.2а приведены результаты применения данной методики для изображений краевых дислокаций монокристалла 6H-SiC. При обработке этого изображения традиционными цифровыми методами у специалистов не возникало особого интереса к краевой дислокации, обозначенной на снимке цифрой 1. Обычная четырехлепестковая краевая дислокации, обладающая при этом аномально большими размерами по сравнению с соседними. После вейвлет-обработки контраст от дислокации приобрел другие очертания (рис.2в). Дислокация разделилась на две части, которые похожи на две краевые дислокации, контрасты от которых сливаются. Была выдвинута гипотеза, что это и есть две краевые дислокации, плоскости скольжения которых расположены близко друг к другу, причем одна дислокация находится выше другой — ближе к поверхности кристалла. Такое предположение, как и любое другое, требует доказательств. В рентгенопографии это делается с помощью других независимых методов исследования дефектов полупро-

водников (напр., метода декарирования с химическим травлением или поляризационно-оптического метода и т.д.). В нашем случае доказательство было найдено на снимке, сделанном по методу Ланга (рис.2б) [2,3]. На этом снимке в том же самом участке кристалла хорошо видны контрасты от двух розеток, расположенных одна под другой.

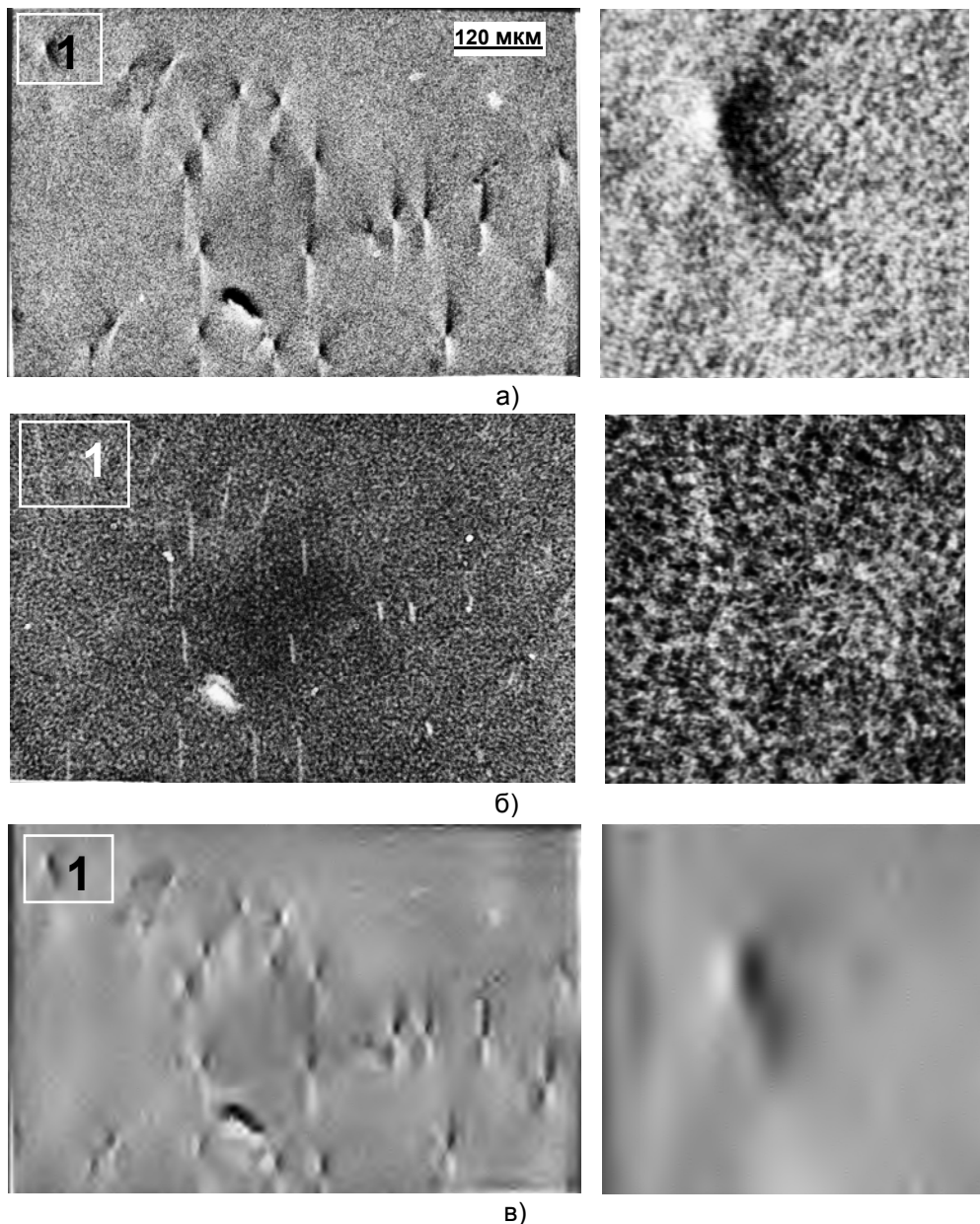


Рис.2. Исходное топографическое изображение краевых дислокаций монокристалла 6H-SiC, полученное методами АПРЛ (а), Ланга (б) и обработанное методом вейвлет-фильтрации (в). Справа от топограмм представлены увеличенные изображения дислокации 1

Трехмерные проекции оригинального и обработанного контрастов представлены на рис.3. В качестве базиса использован ортогональный вейвлет Коифлета [1]. Для того, чтобы передать все детали и тонкости зерна и розеток, потребовалась вейвлет-функция, максимально компактная на временном и частотном интервале. При использовании *грубых* вейвлетов

контраст после разложения передавался неточно, и много информации терялось. Кроме того, функция должна быть симметричной, несимметричный вейвлет нарушает пропорции (симметрию) самих розеток при разложении. Использовалась максимальная степень сжатия вейвлета Коифлета (параметр  $a = 5$  в формуле (1)). Симметричность вейвлета также удовлетворяла нашим условиям. Вейвлет-фильтрация представлена как с мягким порогом отсечения детализирующих коэффициентов (рис.3в), так и с жестким (рис.3г) [1]. В обоих случаях четко отображен раздвоенный контраст дислокации. Здесь же представлены и варианты фильтрации контраста с помощью Фурье-преобразования: с применением низкочастотного Фурье-фильтра и прямого изменения амплитудного спектра изображения [4] (рис.3д и 3е). Анализ этих результатов свидетельствует, что Фурье-фильтрация не дает никакой информации о раздвоенности дислокации 1. Гаусс-размытие и нелинейная рекурсивная фильтрация, методика которых рассмотрена в [5], также не дали дополнительной информации.

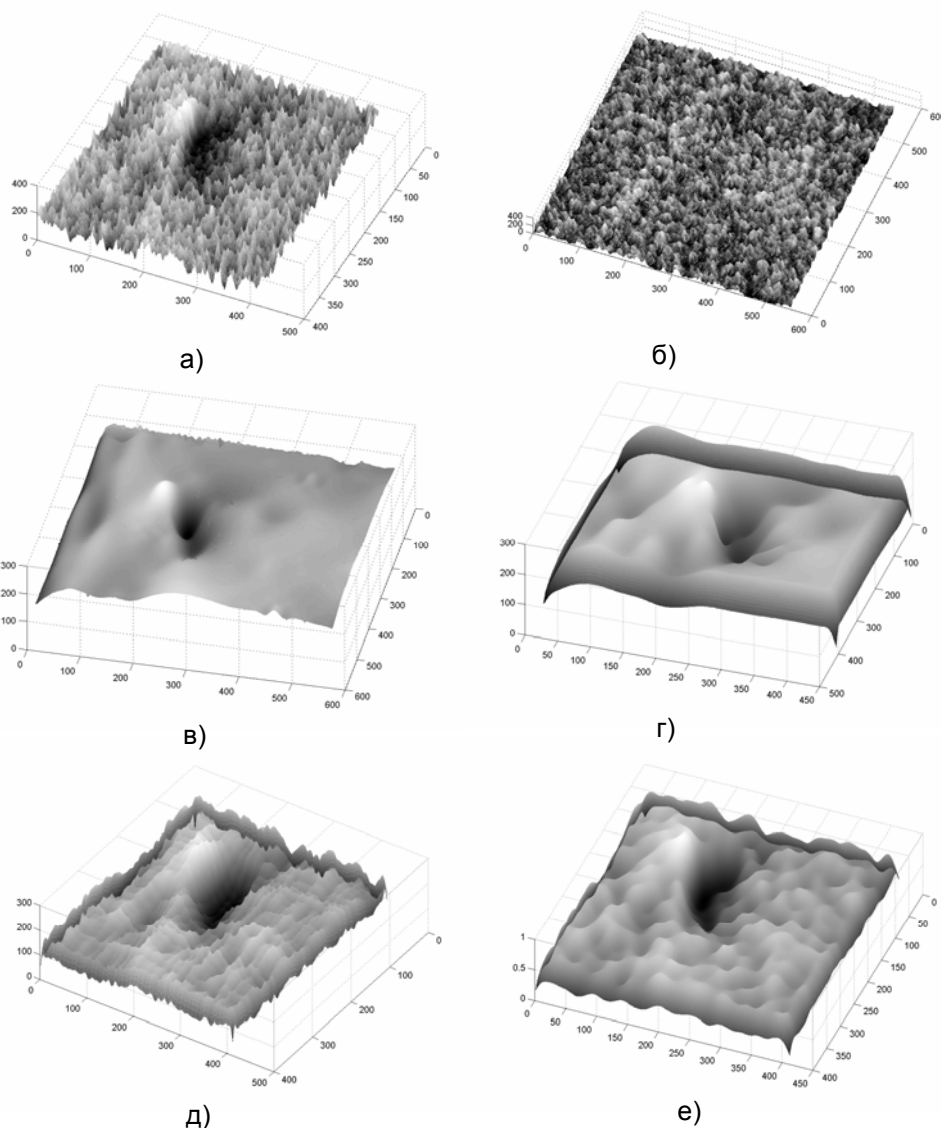


Рис.3. Трехмерные проекции исходного изображения дислокации 1 методами АПРЛ (а) и Ланга (б) — обработанного методом вейвлет-фильтрации с мягким порогом (в) и жестким порогом (г) отсечения детализирующих коэффициентов; обработанного с помощью прямого изменения амплитуд Фурье-спектра (д) и низкочастотной Фурье-фильтрации изображения (е)

## Анализ коэффициентов вейвлет-разложения

Рассмотрим подробнее обработанное изображение дислокации 1 с точки зрения вейвлет-анализа. На рис.4 представлены трехмерные графики матриц аппроксимации  $A_j$  и деталей  $D_j^{H,V,D}$  изображения дислокации 1 (выражения (3) и (4)). Размеры матриц увеличены до размеров исходного изображения по методу бикубической интерполяции, что придает им большую наглядность. Как видим, уже на первых уровнях декомпозиции аппроксимирующие коэффициенты передают информацию о раздвоенности дислокации 1 (рис.4а). На дальнейших уровнях эта информация становится более явной (рис.4б и 4в). Совершенно четко прослеживается это и на вертикальных детализирующих коэффициентах 6-го уровня (рис.4д).

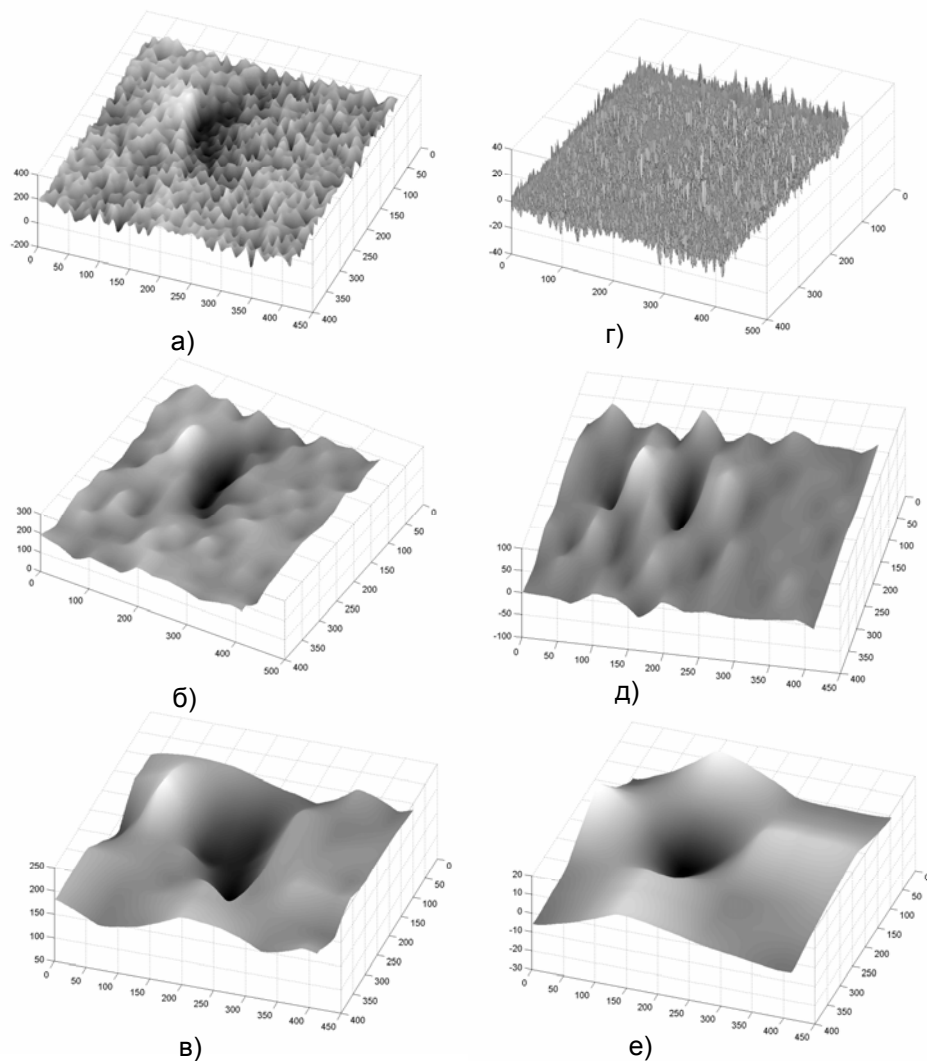


Рис.4. Трехмерные проекции реконструкции контраста дислокации 1 из следующих вейвлет-коэффициентов: коэффициентов аппроксимации 3-го (а), 5-го (б) и 6-го (в) уровней; горизонтальных детализирующих коэффициентов 1-го уровня (г); вертикальных детализирующих коэффициентов 6-го уровня (д); диагональных детализирующих коэффициентов 8-го уровня (е)

Декомпозиция изображения осуществлялась до 8-го уровня ( $j = 8$ ). Матрица коэффициентов аппроксимации на последнем уровне в 65536 раз меньше, чем исходное изображение дислокации. Но только на 8-м уровне разложения окончательно исчезли детали зерна фотоэмульсии, т.е. контраст от зерна перестал улавливаться коэффициентами аппроксимации  $CA_j$  и передаваться на последующие детализирующие коэффициенты  $CD_{j+1}$ . Уже одно это говорит о том, насколько сложен контраст зерна. Яркостный диапазон контраста имеет значительную ширину, и детали зерна сохраняются даже на высоких уровнях декомпозиции. После разложения, на всех уровнях удаляются детализирующие коэффициенты, содержащие контраст от зерна. Сохраняются только коэффициенты, значения которых соответствуют последнему уровню. При таком *глубоком* разложении значительно теряются (аппроксимируются) и детали самой розетки. Если опираться на алгоритм Маллата, то реконструкция отчищенного контраста осуществляется на базе последних коэффициентов аппроксимации ( $j = 8$ ) и цепочки детализирующих коэффициентов, сохраняемых от первого и до последнего уровня, в соответствии с выражением (4). При такой значительной аппроксимации контуры розетки теряют свою резкость, и единственным носителем былых деталей контраста служат детализирующие коэффициенты. Эти коэффициенты последовательно накапливают информацию о деталях розетки от уровня к уровню. Но и эти коэффициенты практически полностью удаляются, поскольку (в соответствии с нижним уровнем) содержат информацию о деталях зерна. Значения коэффициентов зерна и самой розетки на верхних уровнях совпадают. В итоге информация о деталях розетки на этих уровнях теряется. Этим объясняется некая *размытость* изображения розетки после фильтрации.

#### Выводы

1. Вейвлет-анализ позволяет практически полностью удалить зернистость фотоматериалов с изображения дислокаций, но при этом теряется часть деталей контраста самих дефектов.
2. На снимках после вейвлет-обработки появляются некие артефакты (рис.2в), своего рода вейвлет-интерпретация некоторых участков изображения, что, возможно, объясняется глубокой аппроксимацией контраста, возникающей на высоких уровнях декомпозиции.
3. Использование вейвлет-разложения позволило выявить две краевые дислокации, контраст от которых до обработки расценивался как одна дислокация (рис.3, 4), что позволяет говорить об особой чувствительности вейвлет-разложения к малозаметным особенностям контраста.

- 
1. Дьяконов В., Абраменкова И. МАТЛАВ. Обработка сигналов и изображений. Спец. справочник. СПб.: Питер, 2002. 608 с.
  2. Данильчук Л.Н. Дис. ... д-ра физ.-мат. наук. Киев: ИМФ АН Украины, 1992. 361 с.
  3. Окунев А.О. Дис. ... канд. физ.-мат. наук. В.Новгород: НовГУ, 1999. 263 с.
  4. Белехов Я.С., Петров М.Н., Дроздов Ю.А. // Вестник НовГУ. Сер.: Технические науки. 2004. №26. С.145-151.
  5. Дроздов Ю.А. Дис. ... канд. техн. наук. В.Новгород: НовГУ, 2003. 232 с.